

## СТРУКТУРА ФРОНТА УДАРНОЙ ВОЛНЫ В КВАРЦЕ В ОБЛАСТИ ФАЗОВОГО ПЕРЕХОДА КВАРЦА В СТИШОВИТ

*А. И. Воропинов, М. А. Подурец*

*(Москва)*

Ударная волна — это одно из наиболее мощных средств изучения свойств веществ при высоких давлениях. Среди исследуемых веществ особо выделяются те, которые претерпевают полиморфные фазовые превращения в ударных волнах. Изучение кинетики таких превращений имеет как самостоятельное значение, так и прикладное к проблеме определения свойств фаз высокого давления, поскольку нередко фазовый состав конечных состояний за ударной волной оказывается неравновесным вследствие особенностей кинетики превращения. К настоящему времени получено довольно много экспериментальных данных по фазовым превращениям в ударных волнах, их обзор и анализ содержится в [1]. Несмотря на эти успехи, следует признать, что физическая картина явления, даже в наиболее важных своих чертах, остается все еще недостаточно ясной, а теория явления находится на самой ранней стадии развития. Причина заключается в чрезвычайных методических трудностях эксперимента, перед которым ставится задача проникнуть в детали строения ударного фронта. Традиционный же ударно-волновой метод основан на изучении конечного результата ударного нагружения и дает мало информации о деталях процесса перехода. В этих условиях мы считаем полезным также и встречный подход — построение физически реалистических моделей и численное их исследование с тем, чтобы выявить характерные черты явления, могущие быть проверенными экспериментально. Конечно, в настоящее время не может быть создана полная микроскопическая адекватная теория, она по необходимости должна быть полуэмпирической, с численными параметрами, которые могут быть определены только грубо. Последующее сопоставление с экспериментом поможет уточнить и модель, и значения численных параметров. Объектом исследования выбран кварц в области перехода его в стишовит. Выбор кварца не случаен. Дело в том, что уже имеющийся эксперимент способен пролить свет на природу кинетики перехода и сильно ограничить произвол в построении модели явления. Таким фундаментальным фактом является постоянство скорости ударной волны без нестационарного раздвоения фронта в области фазового перехода. Этим свойством переход кварца в стишовит (наряду с переходом графита в алмаз) существенно отличается от фазовых превращений других веществ в ударных волнах.

**1. Физическая модель. Определяющая система уравнений.** В [2] выдвинуто предположение о том, что фазовый переход кварца в стишовит в ударной волне идет по мартенситному механизму. Сейчас признается, что этот механизм является основным при ударно-волновых полиморфных переходах при сравнительно невысоких давлениях [1]. Однако в случае кварца мартенситный механизм выступает не в чистом виде. Для его осуществления необходимо специфическое воздействие ударного фронта. Суть этого воздействия заключается в том, что реакцию вызывает и поддерживает достаточно интенсивное поле сдвиговых напряжений, существующее во фронте волны. В пользу этого предположения можно привести два веских довода: во-первых, в статических экспериментах по фазовому превращению кварца, где отсутствуют сдвиговые напряжения, реакция по мартенситному типу не идет, во-вторых, сдвиговое напряжение — это единственный параметр, который уменьшается скачком при смене однократной сжимаемости на двукратную с образованием нестационарной двухволновой конфигурации. При этом в первой волне за ее фронтом сдвиговые напряжения релаксируют и вторая волна распространяется по среде с изотропным давлением. Напомним, что постоянство скорости ударной волны без раздвоения объясняется именно такой резкой зависимостью концентрации стишовита при смене однократного сжатия на двукратное

[3]. Заметим, что роль сдвигового напряжения двойка: с одной стороны, под его воздействием происходит размножение дефектов решетки — возможных центров зарождения, с другой стороны, сам рост зародыша, несомненно, вынуждается внешним по отношению к нему полем сдвигового напряжения. Если бы последнее было несправедливо, то в статических условиях мартенситный механизм действовал бы, так как в любом реальном образце дефектов всегда достаточно. Кроме того, в раздвоенной ударной волне не было бы торможения реакции, так как в противоположность напряжению сдвига число дефектов слабо зависит от того, одна волна идет по веществу или две.

Как отмечалось в [2], необходимость существования напряжения сдвига для перехода кварц — стишовит, возможно, связана с тем, что собственная деформация перехода не обладает инвариантной плоскостью, а образующаяся разориентировка может быть ликвидирована либо пластическим сдвигом, либо поворотом блока как целого. В этом заключается принципиальное отличие системы кварц — стишовит и им подобных от всех других, где решетки фаз приспособлены хорошо и для осуществления мартенситной реакции нет необходимости во внешнем напряжении сдвига. Мартенситная реакция в системах типа кварц — стишовит может быть выделена из общей массы реакций подобного типа, по своему характерному признаку она может быть названа тензогенной.

Исходя из сказанного, можно сформулировать первое основное требование к построению модели явления. Оно заключается в том, что среда должна описываться как упругопластическая (будем считать ее изотропной) с включением релаксации сдвиговых напряжений, основой которой является динамика дислокаций. Таким образом, в схему должны быть включены уравнения, описывающие движение и размножение дислокаций. Что касается последнего обстоятельства, то на данном этапе можно не вдаваться в детали работы источников дислокаций, а использовать эмпирическую зависимость плотности дислокаций от величины пластического сдвига [4, 5]. Полная деформация должна разделяться на упругое всестороннее сжатие, упругий сдвиг и пластический сдвиг. Еще одна характерная черта модели — применение теории конечных деформаций. Связано это с тем, что, во-первых, на упругом фронте конечен упругий сдвиг, а по мере релаксации сдвиговых напряжений конечным (порядка всестороннего сжатия) становится пластический сдвиг. Конечные деформации вводим по схеме, близкой к схеме работ [6, 7]. Завершают модель кинетическое уравнение для определения концентраций фаз и их уравнения состояния. Рассмотрим одномерное плоское течение и выберем координатные оси так, что ось  $x$  направим вдоль течения, а две другие — перпендикулярно ему. Эти направления будут главными осями тензоров деформаций и напряжений.

Матрицы полной деформации  $F$ , упругой  $F^e$  и пластической  $F^p$  выглядят следующим образом:

$$F = \begin{pmatrix} \lambda_1 & 0 & 0 \\ 0 & 1 & 0 \\ 0 & 0 & 1 \end{pmatrix}, \quad F^e = \begin{pmatrix} \lambda_1^e & 0 & 0 \\ 0 & \lambda_2^e & 0 \\ 0 & 0 & \lambda_2^e \end{pmatrix}, \quad F^p = \begin{pmatrix} \lambda_1^p & 0 & 0 \\ 0 & \lambda_2^p & 0 \\ 0 & 0 & \lambda_2^p \end{pmatrix}.$$

Из условия  $F = F^e F^p$  следуют связи

$$\lambda_1 = \lambda_1^p \lambda_1^e, \quad \lambda_2^p \lambda_2^e = 1.$$

Условие того, что пластическая деформация не меняет объема, сводится к

$$\lambda_1^p (\lambda_2^p)^2 = 1.$$

Удобно вместо этих переменных ввести независимые: всестороннее сжатие

$$\delta = (\lambda_1)^{-1}$$

и упругий чистый сдвиг

$$\xi^e = \lambda_1^e (\lambda_2^e)^{-1}.$$

При этом пластический чистый сдвиг выразится в виде

$$\xi^p = \lambda_1^p (\lambda_2^p)^{-1} = (\delta \xi^e)^{-1}.$$

Введем главные значения тензора напряжений  $\sigma_1$  и  $\sigma_2 = \sigma_3$ . Будем полагать, что шаровая часть  $\sigma_{ik}$  — всестороннее давление

$$p = (1/3)(\sigma_1 + 2\sigma_2)$$

при температуре  $T = 0$  (холодное давление  $p_x$ ) — зависит только от сжатия  $\delta$ ,  $p_x = p_x(\delta)$ . Вид этой функции в нелинейном случае, вообще говоря, произволен и устанавливается отдельно. Рассмотрим девиаторную часть  $\sigma_{ik}$  (максимальное сдвиговое напряжение), обозначим ее через  $\tau$

$$\tau = (1/2)(\sigma_1 - \sigma_2).$$

Девиаторы тензоров напряжения и деформации связаны между собой. Для инфинитезимальных преобразований такая связь дается линейным законом Гука. Введем матрицу инфинитезимальной упругой деформации от состояния, деформация которой задана матрицей  $\{\lambda^e\}$ , до состояния  $\{\lambda^e + d\lambda^e\}$ . Искомой матрицей будет  $\{1 + d\lambda^e/\lambda^e\}$ . Тензор деформации будет задан матрицей  $\{d\lambda^e/\lambda^e\}$ , и закон Гука запишется в виде

$$d\tau = -\mu \left( \frac{d\lambda_1^e}{\lambda_1^e} - \frac{d\lambda_2^e}{\lambda_2^e} \right) = -\mu \frac{d\xi^e}{\xi^e}$$

при  $\delta = \text{const}$ , т. е.

$$(1.1) \quad \partial\tau/\partial\xi^e = -\mu/\xi^e.$$

Здесь  $\mu$  — модуль сдвига, функция, вообще говоря, сжатия и упругого сдвига. По существу, (1.1) является определением модуля сдвига, и физическое содержание его появится, когда сделаем дополнительные предположения о функции  $\mu(\delta, \xi^e)$ . Существенное ограничение вида этой функции может быть получено следующим образом. Вычислим работу упругих сил деформации тела. Работа, производимая телом при изменении  $\lambda_i$  на  $d\lambda_i$ , отнесенная к единице массы тела, будет

$$dA = (1/\rho_0)(\sigma_1\lambda_2\lambda_3d\lambda_1 + \sigma_2\lambda_1\lambda_3d\lambda_2 + \sigma_3\lambda_1\lambda_2d\lambda_3).$$

Используя свойства рассматриваемой деформации, можно окончательно получить

$$dA = -\frac{1}{\rho^2} p_x(\rho) d\rho + \frac{4}{3} \frac{1}{\rho} \tau \left( \frac{d\xi^e}{\xi^e} + \frac{d\xi^p}{\xi^p} \right).$$

Таким образом, полная работа равна сумме упругой работы всестороннего сжатия, работы упругого сдвига и работы пластического сдвига. Определим теперь внутреннюю энергию как функцию деформаций из первого начала термодинамики, исключив пластическую деформацию из-за ее необратимости. Экспериментально установлено, что не вся энергия пластического деформирования переходит в тепло, примерно 10% ее переходит в скрытую энергию упругих напряжений вновь рождаемых дислокаций, однако этой частью будем пренебрегать. Тогда для изменения внутренней

упругой энергии получим

$$dE^e = \frac{1}{\rho^2} p_x(\rho) d\rho - \frac{4}{3} \frac{\tau}{\rho} \frac{d\xi^e}{\xi^e}.$$

Из того, что  $dE^e$  — полный дифференциал, следует

$$\frac{\partial}{\partial \rho} \left( \frac{\tau}{\rho} \right) = 0.$$

Совместно с (1.1) это дает

$$\mu = \delta\varphi(\xi^e),$$

где  $\varphi(\xi^e)$  — произвольная функция упругого сдвига. Поскольку в нашем случае упругий сдвиг почти всегда мал, будем считать  $\varphi(\xi^e)$  постоянной, после чего имеем  $\mu = \mu_0 \delta$ ,  $\tau = -\mu_0 \delta \ln \xi^e$ , если учесть, что при  $\xi^e = 1$   $\tau = 0$ .

В целях упрощения модели будем описывать нашу двухкомпонентную среду единым модулем сдвига. В более точной теории следует усреднять модули компонент, причем как модули сдвига, так и модули всестороннего сжатия с взаимным влиянием, так как всестороннее сжатие образца сопровождается сдвигами компонент для сохранения сплошности и наоборот. К упругим давлению и энергии добавляем тепловые члены и полагаем, что имеет место аддитивность объема, внутренней энергии и энтропии компонент при равных температурах и давлении. Кинетику пластического деформирования будем описывать уравнением Орована

$$(1.2) \quad \frac{1}{\xi^p} \frac{d\xi^p}{dt} = -bNv,$$

где  $b$  — вектор Бюргера;  $N$  — плотность дислокаций;  $v$  — их скорость.

В случае малых деформаций обычно считают величины  $b$  и  $N$  не зависящими от сжатия, в нашем случае такую зависимость следует учесть. Введем величины  $b_0$  и  $N_0$ , относящиеся к несжатому единичному объему, тогда  $b = b_0 \delta^{-1/3}$ ,  $N = N_0 \delta^{2/3}$  (дислокации заморожены в решетку). Теперь переищем (1.2) в виде

$$\frac{1}{\xi^p} \frac{d\xi^p}{dt} = -b_0 N_0 \delta^{1/3} v.$$

Производную по времени следует понимать в лагранжовом смысле. Зависимость скорости дислокаций от сдвигового напряжения будем описывать формулой Гилмана

$$(1.3) \quad v = c_t \exp(-\tau_0/\tau),$$

где  $c_t$  — поперечная скорость звука;  $\tau_0$  — постоянный параметр.

Для плотности дислокаций принимаем линейную зависимость ее от пластической деформации

$$(1.4) \quad N_0 = N_{00} + k \ln \xi^p.$$

В нашей модели полагаем, что релаксация сдвиговых напряжений происходит только за счет консервативного движения дислокаций скольжения. В точной теории следовало бы еще учесть релаксацию за счет фазового перехода. Если мы принимаем, что переход стимулируется сдвиговым напряжением, то, согласно принципу Ле-Шателье, он должен приводить к уменьшению  $\tau$ .

Последним пунктом модели является кинетическое уравнение фазового превращения. Рассмотрим лагранжев единичный элемент объема.

Тогда в единицу времени в нем рождается  $dN_0/dt$  дислокаций. Однако дислокация как линейный объект не может служить центром зарождения. Им может быть, например, пересечение дислокаций, поэтому введем параметр  $l_0$  — среднее расстояние между активными узлами дислокационной сетки. Тогда в расчете на грамм вещества в единицу времени будет зарождаться  $(1/\rho_0 l_0) dN_0/dt$  центров. Из полного числа должны быть отобраны те, которые принадлежат неустойчивой фазе. Предполагая, что дефекты распределены равномерно, найдем эту долю. Для этого воспользуемся соотношениями

$$V_1 + V_2 = V, \quad V_1 \rho_1 + V_2 \rho_2 = 1, \quad \beta/\rho_1 + (1 - \beta)/\rho_2 = 1/\rho,$$

где  $\beta$  — весовая концентрация первой (легкой, неустойчивой) фазы. Получаем, что доля объема  $V_1/V = \beta\rho/\rho_1$  и скорость зарождения центров в легкой фазе равна  $(\beta\delta/l_0\rho_1) dN_0/dt$ .

На образовавшихся центрах начинается рост кристаллов новой фазы. Обозначим момент зарождения через  $t'$ , а массу кристалла в момент  $t$  — через  $m(t', t)$ . Теперь для того чтобы найти концентрацию тяжелой фазы  $1 - \beta$ , нужно проинтегрировать по временам зарождения  $t'$  всю массу новой фазы в грамме вещества

$$(1.5) \quad 1 - \beta(t) = \frac{1}{l_0} \int_{t_0}^t \frac{\beta(t')}{\rho_1(t')} \frac{dN_0}{dt'} m(t', t) dt'$$

( $t_0$  — время достижения критических условий для начала перехода). Интегрирование ведется вдоль линии тока. Остается установить вид функции  $m(t', t)$ . Принимаем, что форма растущего кристалла такая же, как и у равновесного мартенситного кристалла, — двояковыпуклая линза [8], тогда ее объем пропорционален  $R^{5/2}$ , где  $R$  — радиус кромки линзы. Введем скорость роста радиуса линзы  $v_1$ , тогда

$$R(t', t) = \int_{t'}^t v_1(t'') dt''.$$

Здесь придется сделать допущение о скорости роста кристалла  $v_1$ , не имея достаточных экспериментальных данных. Известно лишь, что скорость роста мартенситного кристалла может, как и скорость дислокаций, достигать значения поперечной скорости звука. Это естественно, поскольку перестройка решетки на границе происходит посредством движения вдоль границы дислокаций перехода. Исходя из этих грубых представлений, положим, что и зависимость скорости  $v_1$  от сдвигового напряжения (необходимая в случае тензогенного перехода) качественно такая же, как и в случае дислокаций скольжения (1.3). Отличие только в том, что вводим в нее порог по  $\tau$

$$v_1 = c_t \exp\left(-\frac{\tau_1}{\tau - \tau_2}\right).$$

При  $\tau \leq \tau_2$  полагаем  $v_1 = 0$ . Надо полагать  $v_1 = 0$  и в области термодинамической устойчивости легкой фазы. Если ударная волна обладает достаточной интенсивностью, то реакция начинается сразу на фронте с зарождением на дефектах в невозмущенном веществе (слагаемое  $N_{00}$  в (1.4)). Этому в кинетическом уравнении (1.5) должно отвечать слагаемое в правой части, эквивалентное  $\delta$ -образному источнику с временем зарождения, равным времени прихода ударной волны, т. е.  $dN_0/dt'$  имеет слагаемое  $2N_{00}\delta(t' - t_0)$ . Выпишем теперь полную систему уравнений в лагранжевых переменных:

уравнение непрерывности и определение скорости

$$\partial x / \partial a = 1/\rho, \quad \partial x / \partial t = u,$$

уравнение Эйлера

$$\partial u / \partial t + \partial \sigma_1 / \partial a = 0,$$

энтропийное уравнение

$$\frac{\partial S}{\partial t} = \frac{1}{T} (\Phi_2 - \Phi_1) \frac{\partial \beta}{\partial t} + \frac{4}{3} \frac{1}{T} \frac{1}{\rho} \frac{\tau}{\xi^p} \frac{\partial \xi^p}{\partial t}$$

(первый член дает рост энтропии из-за неравновесного фазового перехода [2], второй — из-за работы пластического деформирования,  $\Phi_k$  — термодинамические потенциалы Гиббса),

уравнение состояния

$$V = \beta V_1(p, T) + (1 - \beta) V_2(p, T),$$

$$E = \beta E_1(p, T) + (1 - \beta) E_2(p, T), \quad S = \beta S_1(p, T) + (1 - \beta) S_2(p, T)$$

(уравнения состояния отдельных фаз будут приведены ниже),

определение давления

$$p = (1/3)(\sigma_1 + 2\sigma_2),$$

закон Гука для сдвигов

$$\sigma_1 - \sigma_2 = -2\mu_0 \delta \ln \xi^e,$$

связь между сдвигами и всесторонним сжатием

$$\xi^p \xi^e \delta = 1,$$

кинетика пластического течения

$$(1/\xi^p) \partial \xi^p / \partial t = -b_0 N_0 \delta^{1/3} v,$$

$$N_0 = N_{00} + k \ln \xi^p, \quad v = c_t \exp(-\tau_0/t),$$

кинетика фазового превращения

$$1 - \beta = B \frac{\rho_0 \hat{r}_x}{\rho_0} N_{00} R^{5/2}(t_0, t) + B b_0 \rho_{20} k \int_{t_0}^t \beta(t') \delta^{4/3}(t') \rho_1^{-1}(t') (N_{00} + k \ln \xi^p) v R^{5/2}(t', t) dt',$$

$$R(t', t) = \int_{t'}^t v_1(t'') dt'', \quad v_1 = c_t \exp\left(-\frac{\tau_1}{\tau - \tau_2}\right).$$

Здесь  $\hat{r}_x$  — концентрация легкой фазы на фронте волны;

$B$  — коэффициент пропорциональности, варьируемый параметр. Выпишем граничные условия. На поршне  $u = u_0$ . На упругом фронте ударной волны: отсутствие пластического сдвига  $\xi_F^p = 1$ , наличие только легкой фазы  $\hat{r}_x = 1$  и точные краевые условия Гюгонио.

**2. Численные расчеты и их результаты.** Для численного интегрирования системы уравнений была создана специальная программа, главные отличительные черты которой — применение метода характеристик и точных граничных условий на упругом фронте ударной волны. Уравнения состояния фаз брались в виде суммы холодных и тепловых членов. Холодное давление бралось в виде

$$p_x(\rho) = \frac{\rho_0 c_0^2}{n} \left[ \left( \frac{\rho}{\rho_0} \right)^n - 1 \right],$$

где  $\rho_0$  — начальная плотность;  $c_0$  — начальная объемная скорость звука. Отношение теплового давления  $p_T$  к объемной тепловой энергии (коэффициент Грюнайзена  $\Gamma$ ) полагается постоянным. Тепловая энергия (на 1 грамм)  $E_T$  пропорциональна температуре  $T$  с постоянным коэффициентом пропорциональности  $c_V$ . Полная энергия, входившая в уравнение Гюгонио для ударной адиабаты  $E = (1/2)\sigma_1(1/\rho_0 - 1/\rho)$ , записывается в виде

$$E = E_0 + \int_{\rho_0}^{\rho} p_x(\rho) \frac{d\rho}{\rho^2} + \frac{2}{3} \frac{\mu_0}{\rho_0} (\ln \frac{\rho}{\rho_0})^2 + E_T.$$

Энтропия находится интегрированием уравнения

$$TdS = dE_T + p_T dV.$$

Использовались следующие значения постоянных параметров:

кварц

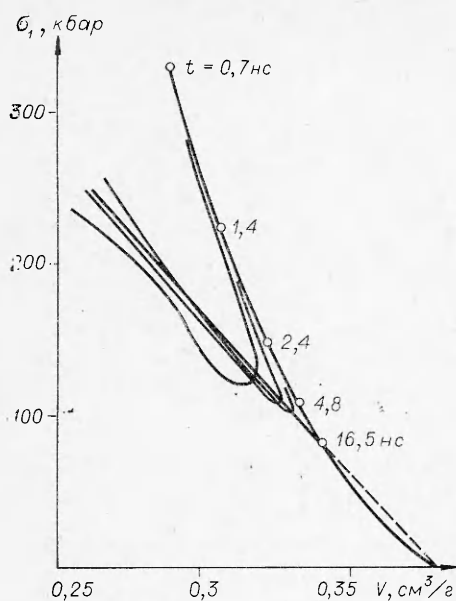
$$\rho_0 = 2,65 \text{ г/см}^3, c_0 = 3,7 \text{ км/с}, n = 6, \Gamma = 0,653, c_V = 1,25 \cdot 10^7 \text{ эрг/г} \cdot \text{град}, \\ E_0 = 0, S_0 = 0;$$

стишовит

$$\rho_0 = 4,29 \text{ г/см}^3, c_0 = 7,6 \text{ км/с}, n = 3, \Gamma = 1,2, c_V = 1,25 \cdot 10^7 \text{ эрг/г} \cdot \text{град}, \\ E_0 = 6,6 \cdot 10^9 \text{ эрг/г}, S_0 = -2,6 \cdot 10^6 \text{ эрг/г} \cdot \text{град}.$$

Здесь  $S_0$  — энтропия в нормальном состоянии, энтропия и энергия кварца в нормальном состоянии положены равными нулю. Начальный модуль сдвига  $\mu_0 = 0,2$  Мбар. Модуль вектора Бюргера  $b_0 = 5 \cdot 10^{-8}$  см. Параметры в плотности дислокаций  $N_{00} = 2 \cdot 10^8 \text{ см}^{-2}$ ,  $k = 10^{12} \text{ см}^{-2}$ . Параметры в скоростях дислокаций  $\tau_0 = 30$  кбар,  $\tau_1 = 30$  кбар,  $\tau_2 = 15$  кбар.

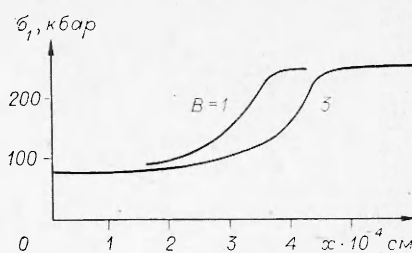
Порог  $\tau_2 = 15$  кбар выбирался из того условия, чтобы в точке первого излома ударной адиабаты кварца (и ниже ее) реакция была бы невозможной. В стационарной волне с амплитудой на пластическом хвосте  $p = 140$  кбар сдвиговые напряжения не превышают этой величины. Все параметры уравнений состояния соответствуют известным данным по динамической сжимаемости кварца и стишовита, за исключением одного пункта, на котором остановимся подробнее. В нашем случае уменьшен модуль сдвига против экспериментального и увеличена крутизна холодного давления кварца. Причина этого следующая. В общем случае расположение упругой ударной адиабаты относительно волнового луча (в плоскости  $\sigma_1, V$ ), идущего из точки начального состояния в точку первого излома, может быть произвольным, в частности таким, что волновой луч будет лежать целиком под упругой ударной адиабатой. Для кварца это имеет место на самом деле, так, скорость ударной волны в точке излома  $D = 5,7$  км/с, а продольная скорость звука  $c_l = 6$  км/с. Следствием этого будет постоянный обгон упругой волной пластической, т. е. впереди пластической волны будет распространяться упругий предвестник с постоянно уменьшающейся амплитудой. Наличие упругого предвестника не меняет для нашей задачи ничего по существу, но очень неудобно для численного счета, так как захватывается все большее число счетных точек и тратится весь машинный ресурс на расчет его самого. В нашем же случае волновой луч пересекает упругую ударную адиабату. В этом случае полная картина течения будет в пределе стационарной, что дает возможность обходиться постоянным числом счетных точек. В расчетах использовалось 50 точек. Постоянный множитель в формуле для кинетики перехода варьировался, чтобы показать, что при достаточно «сильной»



Ф и г. 1

чаются друг от друга, каждое новое установление происходит быстро. Были проведены подобные расчеты с варьированным  $B$  для двух значений граничной скорости:  $u_0 = 1,371$  и  $1,698$  км/с. Конечные состояния в обоих случаях лежат выше точки излома, в области смеси фаз. Процесс установления удобно иллюстрировать на графике зависимости  $\sigma_1$  от  $V$ . В стационарном профиле точки разреза профиля должны лежать на одной прямой, в нестационарном профиле с двухволновой конфигурацией — на двух прямых. На фиг. 1 показано семейство кривых для случая  $u_0 = 1,698$  км/с,  $B = 1$ . Видно установление одного стационарного фронта. Полное время установления составляет  $\sim 1 \cdot 10^{-8}$  с. Надо заметить, что выбранные нами зависимости скоростей дислокаций имеют экспоненциальное стремление к нулю, поэтому формально строгое установление достигается только асимптотически при  $t \rightarrow \infty$ , но уже на временах порядка указанных отличия профилей от предельных незначительны. Оба установившихся решения (для разных  $u_0$ ) от  $B = 1$  до  $B = 4$  лежат практически на одном и том же волновом луче. При  $u_0 = 1,371$  км/с  $D = 5,63$  км/с, при  $u_0 = 1,698$  км/с  $D = 5,66$  км/с, т. е. в пределах точности значения  $D$  совпадают.

На фиг. 2 изображен профиль  $\sigma_1(x)$  в системе координат, где фронт покоится (для фронта  $x = 0$ ), для случая  $u_0 = 1,698$  км/с. Отчетливо видно, что фронт представляет собой стационарную последовательность двух фронтов: упругой ударной волны с практически постоянным течением за ней и находящейся на фиксированном расстоянии от нее пластической волны, на которой и происходит фазовый переход. Это расстояние определяется действием механизма устойчивости. Вторая волна находит себе такое место, чтобы интеграл, определяющий концентрацию стиповита (1.5) (в стационарном профиле интеграл по  $t$  может быть заменен интегралом по  $x$ ), имел заданное значение такое, чтобы конечное состояние легло на волновой луч. Если, например, расстояние между волнами уменьшить, то увеличится наработка стиповита и скорость второй волны упадет, после чего расстояние между волнами увеличится, и наоборот. С этой



Ф и г. 2

кинетике работает механизм установления постоянства скорости волны. С целью экономии машинного времени это варьирование проводилось следующим образом. Вначале выполнялся расчет с минимальным значением  $B = 1$ , расчет велся до установления стационарного профиля. Затем проводилась замена на большие значения. Поскольку стационарные профили при разных  $B$  уже не сильно отлича-



точки зрения ясно, что чем интенсивнее кинетика, тем большим должно быть расстояние между упругой и пластической волнами. Численный расчет это подтверждает. На фиг. 2 изображены профили с  $B = 1$  и 3, наглядно иллюстрирующие это обстоятельство.

Интересные задачи встают в связи с возможностями экспериментальной проверки результатов расчета. Желательно было бы установить наличие стационарной двухволновой структуры. К сожалению, эта задача очень трудна, если расстояния и времена соответствуют расчетным, однако, как уже отмечали, кинетические константы могут отличаться от принятых и изучение структуры фронта может оказаться возможным.

*Поступила 15 XI 1979*

#### ЛИТЕРАТУРА

1. Альтшулер Л. В. Фазовые превращения в ударных волнах.— ПМТФ, 1978, № 4.
2. Подурец М. А., Симаков Г. В., Трунин Р. Ф. О фазовом равновесии в ударно-сжатом кварце и о характере кинетики фазового перехода.— Изв. АН СССР. Физика Земли, 1976, № 7.
3. Подурец М. А., Трунин Р. Ф. Об одной особенности ударной сжимаемости кварцита.— ДАН СССР, 1970, т. 195, № 4.
4. Keh A. S. Weissmann.— In: Proc. of the Conf. on Electron Microscopy and Strength of Materials. N. Y., 1963.
5. Gilman J. Dislocation dynamics and the response of materials.— Appl. Mech. Rev., 1968, vol. 21, N 8.
6. Lee E. H., Liu D. T. Finite-strain elastic-plastic theory with application to plane-wave analysis.— J. Appl. Phys., 1967, vol. 38, N 1.
7. Lee E. H. Elastic-plastic deformation at finite strain.— J. Appl. Mech., 1969, vol. 36, N 1.
8. Любов Б. Я. Кинетическая теория фазовых превращений. М., Металлургия, 1969.

УДК 532.593

### О ПРОЦЕССЕ ОТКОЛЬНОГО РАЗРУШЕНИЯ

*Г. И. Канель, Л. Г. Черных*

*(Черноголовка)*

Многочисленные исследования откольных явлений после выхода импульса сжатия на свободную поверхность образца показывают, что реализуемая при отколе прочность зависит от характерного времени действия нагрузки. В ряде работ [1—4] предлагаются дискретные критерии откольного разрушения, определяющие возможность разрушения через величину растягивающего напряжения и время его действия в данном сечении образца. Но, с одной стороны, нагрузка в любом сечении, вообще говоря, может произвольно изменяться, с другой стороны, сам процесс разрушения приводит к падению растягивающего напряжения, что затрудняет реальное использование дискретных критериев откола. В [5—7] обсуждается возможность введения в критерий откола непрерывной меры разрушения, в качестве которой могут использоваться размеры и количество трещин, остаточная прочность полуразрушенного образца и т. д. Экспериментальная информация о процессе разрушения может быть получена из металлографического анализа сохранных образцов [5, 6], либо из экспериментов по непрерывной регистрации скорости свободной поверхности образца при выходе на нее импульса сжатия и «откольного» импульса [8—11]. Получение непрерывной количественной информации непосредственно из зоны разрушения в настоящее время невозможно.

В данной работе рассматривается влияние кинетики разрушения на газодинамику волнового процесса. При газодинамическом анализе явления наиболее удобно в качестве меры разрушения взять удельный объем трещин  $v_T$ . Сдвиговой прочностью среды в дальнейшем будем пренебре-